聚离子液体 / 三聚氰胺碳基材料的制备及电化学性能

doi:10.3969/j.issn.1674-7100.2024.03.008

熊玉兵 钱浙濠 宋红红

浙江理工大学 化学与化工学院 浙江 杭州 310018 摘 要: 将三聚氰胺和聚 [3-氰甲基-1-乙烯基咪唑双 (三氟甲磺酰基)酰亚胺] (PCMVImTf₂N)以不同质量比原位复合作为前驱体,经高温煅烧制备得到多孔碳基催化剂。研究结果表明: 当三聚氰胺与聚离子液体 PCMVImTf₂N的质量比为 1:7 时,制得的 NC-7 在 0.5 mol/L 硫酸 (H_2SO_4) 电解液中显示出最佳的电催化析氢能力;在电流密度为 10 mA/cm² 时,其过电位为 117 mV,对应的 Tafel 斜率为 46 mV/dec,性能优于众多无金属电催化剂。

关键词:聚离子液体;三聚氰胺;碳基材料;催化性能

中图分类号: TQ426.7 文献标志码: A

文章编号: 1674-7100(2024)03-0061-09

引文格式:熊玉兵,钱浙濠,宋红红.聚离子液体/三聚氰胺碳基材料的制备

及电化学性能 [J]. 包装学报, 2024, 16(3): 61-69.

1 研究背景

随着化石能源的大量开采和使用,环境污染和能源危机日益严重,因此,迫切需要开发清洁能源来替代化石能源。氢能作为一种高效、环保的清洁能源,受到了研究人员的广泛关注[1-3]。在各种制氢方法中,水电解制氢具有简单、无污染等优点,是目前较有前途的一种制氢方法[4-6]。然而,电催化分解水存在反应动力学较慢,过电位较高等问题,导致能耗和生产成本增加[7]。因此,设计一种高效的析氢反应(hydrogen evolution reactions,HER)催化剂,对于加速反应动力学和降低过电位至关重要。在各种可用的催化剂中,负载金属铂(Pt)的催化剂,因具有极高的交换电流密度和较小的 Tafel 斜率,而表现出良好的电催化性能 [8]。为了产氢的可持续化,研究并开发廉价且具有较高催化活性和稳定性的可

替代贵金属 Pt 的材料是当务之急。目前,有效的电催化体系都是基于过渡金属的,例如 Co、Ni、Fe、Mo 和它们的衍生物 [9-11] 等。这些物质对酸性质子交换膜存在固有的电解性腐蚀。除过渡金属外,高效、低成本的催化体系还没有被发现,这在很大程度上缩小了 Pt 替代物的选择性。

碳基材料由于其良好的电子传输能力与优异的 耐酸碱性,而备受科研人员的关注。低维碳材料作为 一种非金属催化剂,其表面暴露的大量活性位点使 其在电催化析氢反应中有较大的应用潜力^[12-14];但 这些材料的 HER 机理还鲜为人知。目前,关于电催 化 HER 的大部分实验和理论研究只专门针对于金属 催化剂,非金属材料是否可以表现出类似的催化行为 和比金属更好的催化活性无人所知。

氮化碳 (C_3N_4) 是一种高氮含量的碳基材料, 其中氮主要以吡啶氮和石墨氮形式存在。 C_3N_4 可以

收稿日期: 2024-03-21

基金项目: 国家自然科学基金资助项目(21774101); 浙江省自然科学基金资助项目(LZY23B040001)

作者简介:熊玉兵(1974-),男,江西九江人,浙江理工大学教授,博士,主要从事基于离子液体刺激响应性高分子及

CO₂ 捕集转化利用的研究, E-mail: yubing_xiong@163.com

通过裂解氰胺^[15]、三聚氰胺^[16]、乙二胺/四氯化碳^[17]而得到,其拥有优秀的化学稳定性、良好的电子结构和环境友好等特点,被应用于光催化、二氧化碳还原及其他能量转化过程中^[18-20];然而其电导率(<10⁻² S/cm)和比表面积低,限制了在电化学相关方面的应用。

聚离子液体(polymeric ionic liquid,PIL)具有优异的结构可设计性 $^{[21]}$,并且可通过原位复合在分子水平上对产物的组成进行有效控制,使杂原子均匀分布,从而有效提高材料整体的电子导电性和化学稳定性。为了设计出一种高交换电流密度和较小 Tafel 斜率的非金属催化剂,本研究以原位复合聚 [3- 氰甲基 -1- 乙烯基咪唑双(三氟甲磺酰基)酰亚胺] (poly [3-cyanomethyl-1-vinylimidazole bis(trifluoromethanesulfonyl) imide],PCMVImTf $_2$ N)的三聚氰胺作为前驱体,高温煅烧后形成类石墨氮化碳。这种制备类石墨氮化碳的方法,通过引入 PIL组分有效解决了 C_3N_4 自身电导率和比表面积低的问题,还利用了 C_3N_4 优异的电子结构使其可以在无金属参与的情况下,显示出优异的电催化析氢性能。

2 实验部分

2.1 主要实验材料和仪器

1)材料:双三氟甲烷磺胺,分析纯,上海阿拉丁生化科技股份有限公司。1-乙烯基咪唑,分析纯;溴乙腈,分析纯;三聚氰胺,纯度98%;萨恩化学技术(上海)有限公司。无水乙醇,分析纯,安徽安特生物化学有限公司。甲醇,分析纯,安徽安特食品股份有限公司。浓硫酸,纯度98%;无水乙醚,分析纯;二甲基亚砜(dimethyl sulfoxide,DMSO),分析纯;北京化工厂有限责任公司。Nafion溶液,质量分数5%,杜邦中国集团有限公司。Pt/C,Pt的质量分数20%,阿法埃莎(中国)化学有限公司。偶氮二异丁腈,纯度98%,天津市凯信化学工业有限公司。氮气,纯度99.999%,咸阳伟丽气体制造有限公司。N,N-二甲基甲酰胺,分析纯;四氢呋喃,分析纯;利安隆博华(天津)医药化学有限公司。氨水,分析纯,荥阳市黄河化工试剂厂。

2) 仪器: 电化学工作站, CHI660e 型, 上海辰华仪器有限公司; 电子天平, FA1004型, 上海良平仪器仪表有限司; 低温冷液循环泵, DLSB-5/20型, 郑州长城科工贸有限公司; 循环水式多用真空泵,

SHB-Ⅲ型,郑州长城科工贸有限公司; X 射线光电子能谱仪, ESCALAB 250Xi 型, 美国 ThermoFisher Scientific 公司; 透射电子显微镜(transmission electron microscope, TEM), JEM-1200EX型, 日本JEOL公司; 拉曼光谱仪, LabRAM HR Evolution型, 法国 HORIBA Jobin Yvon S. A. S 公司; X 射线衍射仪, D/Max-2400型, 日本 Rigaku公司; 扫描电子显微镜(scanning electron microscope, SEM), Tecnai G2 F20型, 美国 FEI 公司。元素分析仪, Unicube & Shimadzu TOC-L型,德国元素分析系统公司。

2.2 样品的制备

1) NCs 碳材料样品

将聚离子液体 PCMVImTf₂N 与三聚氰胺按不同的质量比例在二甲基亚砜(DMSO)中溶解,得到均匀的亮黄色溶液。将溶液转移到培养皿中,在80℃的烘箱中常压干燥3h,除去溶剂。将干燥后的产物浸没于提前配制好的质量分数为0.2%的氨水乙醇溶液中2h,进行去质子化;去质子化后的复合物在室温下自然干燥。将干燥后的产物(NC-UN)作为前躯体放入氧化铝坩埚,在管式炉中氩气保护下,以3℃/min 的速率升温至目标温度(650,700,800,900,1000℃),在目标温度下保持1h;再自然冷却至室温,得到目标产物样品(NC-x)。将聚离子液体PCMVImTf₂N 与三聚氰胺按不同质量比例混合后制得样品分别命名为 NC-x,其中x=6,7,8,如表1所示。下文中没有特别说明的情况下,都是指1000℃下制备的 NC-x。

表 1 样品 NC-x 的具体质量配比 Table 1 Specific mass ratio of sample NC-x

样品	m(PCMVImTf ₂ N)/mg	m(三聚氰胺)/mg	质量比
NC-6	120	20	6
NC-7	140	20	7
NC-8	160	20	8

2) C₃N₄样品

3) PIL-1000 样品

取 100 mg 聚离子液体 PCMVImTf₂N 放入氧化铝 坩埚,在管式炉中氩气保护下,以3 $^{\circ}$ /min 的速率 升温至 1000 $^{\circ}$ 、在目标温度下保持 1 h;再自然冷却

至室温,得到目标产物样品 PIL-1000。

2.3 测试与表征

1) 形貌分析

用扫描电子显微镜和透射电子显微镜对 NC-7 的 形貌进行表征。

2) 结构分析

用X射线衍射仪、拉曼光谱仪、全自动比表面积及孔隙度分析仪、元素分析仪、X射线光电子能谱仪对 NCs 碳材料、PCMVImTf₂N 以及 C_3N_4 进行结构表征。

3) 电化学性能测试

采用电化学工作站对材料进行电化学性能测试,其中线性扫描伏安法、Tafel 曲线、安倍 - 时间曲线、电化学阻抗谱 (electrochemical impedance spectroscopy, EIS)测试均在室温下进行。

在三电极体系测试中,以直径为 3 mm 的玻碳棒为工作电极,饱和甘汞电极为参比电极,铂丝为对电极,0.5 mol/L的 H₂SO₄溶液为电解液。

工作电极的制备的方法: 称取 5 mg 碳材料分散 到 500 μ L 质量分数为 0.5% 的 Nafion 水溶液中,超声 30 min;将 5 μ L 的上述分散液滴加到玻碳电极上,形成均匀的电极膜,自然晾干,其碳材料在工作电极的负载量为 0.7 mg/cm²。

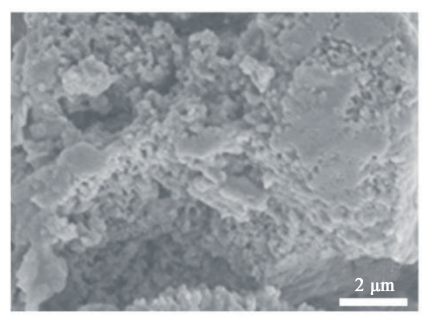
文中的电位 (E) 值都是相对于可逆氢电极,相对于饱和甘汞电极测量值 $E(vs.RHE) = E(vs.SEC) + 0.24+0.059 \times pH$ (没有 iR 校正)。

3 结果与讨论

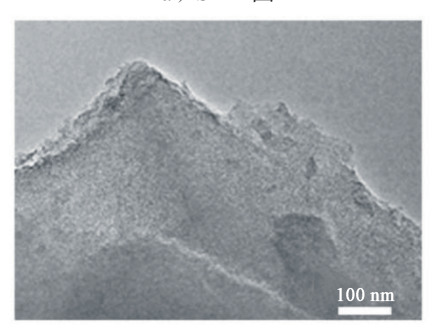
3.1 NCs 碳材料的形貌分析

采用 SEM 和 TEM 对 NC-7 的形貌进行了表征,结果如图 1 所示。

由图 1a 可知, NC-7 中可能由于三聚氰胺的存在,在高温裂解过程中出现了团聚。这间接说明三聚氰胺与聚离子液体 PCMVImTf₂N 原位复合后,经高温碳化形成了类石墨氮化碳。由图 1b 可知,粗糙的碳材料内部含有随机分布的孔隙和缺陷结构。这说明聚离子液体 PCMVImTf₂N 在体系中起到了模板的作用,也进一步说明聚离子液体 PCMVImTf₂N 与三聚氰胺之间存在范德华力,通过氨水乙醇溶液的去质子化进一步使前驱体形成孔道结构,从而有利于电解质离子的扩散和转移,提高电化学性能。



a) SEM 图



b) TEM 图

图 1 NC-7 的形貌表征

Fig. 1 The morphology characterization of NC-7

3.2 NCs 碳材料的 X 射线衍射分析

NCs 碳材料的 X 射线衍射 (X-ray diffraction, XRD) 谱图如图 2 所示。

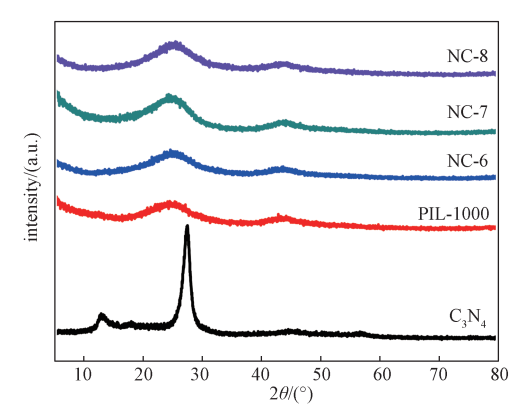


图 2 NCs 碳材料的 XRD 谱图

Fig. 2 XRD spectra of corresponding NCs carbon materials

由图 2 可知, C_3N_4 在 2θ =27.9° 位置出现衍射峰,对应的是(002)晶面,是芳香族层堆积的特征峰;在 2θ =13.8° 位置出现的衍射峰对应的(100)晶面,是平面结构引起,例如晶面中孔的距离。三聚氰胺与聚离子液体 PCMVImTf₂N 复合制备的 NCs碳材料在 2θ =25° 和 2θ =43.8° 出现两个衍射峰,分别对应的是(002)晶面和(100)晶面,表明

NCs 碳材料是无定型碳结构,三聚氰胺与聚离子液体 $PCMVImTf_2N$ 形成较强的相互作用界面,从而使 NCs 碳材料具有较低的结晶度和石墨化程度。

3.3 NCs 碳材料的拉曼光谱分析

NCs 碳材料的拉曼光谱图如图 3 所示。由图可知, C_3N_4 在 1400 cm⁻¹ 和 1600 cm⁻¹ 处有特征峰,分别对应于 N=C=N 和—C =N。NCs 碳材料在 1350 cm⁻¹ 和 1585 cm⁻¹ 处有特征峰,分别对应的是 D 峰和 G 峰。D 峰表示无序石墨碳的缺陷结构,G 峰表示石墨化碳的 sp² 杂化。 I_D/I_G 的比值表示石墨烯的缺陷密集程度,比值越大,缺陷程度越大,更有利于电子的传输。NC-6、NC-7、NC-8 的 I_D/I_G 分别为 1.01, 1.02, 1.01,其中 NC-7 的最大,这说明 NC-7 的石墨化程度较低,孔隙结构较大,其结果与 XRD 的分析一致。

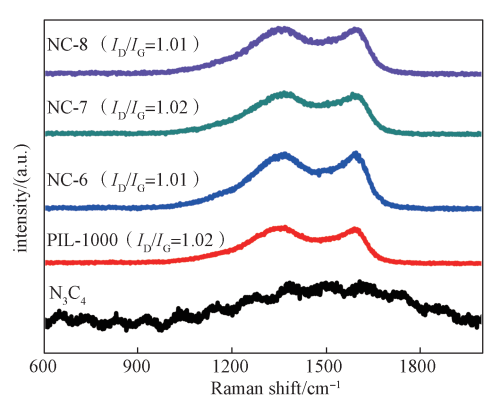


图 3 NCs 碳材料的拉曼光谱图

Fig. 3 Raman spectra of corresponding NCs carbon materials

3.4 NCs 碳材料的孔结构和比表面积分析

采用全自动比表面积及孔隙度分析仪对 NCs 碳材料的孔结构和 BET 比表面积分析,结果如图 4~5 和表 2 所示。

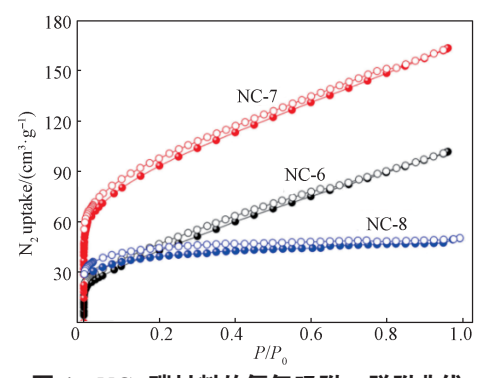


图 4 NCs 碳材料的氮气吸附 - 脱附曲线

Fig. 4 Nitrogen adsorption-desorption curves of NCs carbon materials

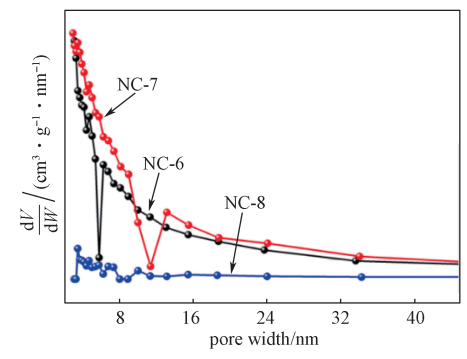


图 5 NCs 碳材料的孔径分布曲线

Fig. 5 Pore size distribution curves of NCs carbon materials

表 2 NCs 碳材料的孔结构参数

Table 2 The pore structure parameters of NCs carbon materials

样品	$S_{\rm BET}/({\rm m}^2\cdot{\rm g}^{-1})$	$V_{\text{pore}}/(\text{cm}^3 \cdot \text{g}^{-1})$
NC-6	167.54	0.1574
NC-7	333.94	0.2528
NC-8	126.96	0.0778

由图 4 可知,NCs 碳材料的氮气吸附 – 脱附等温线为IV型,表明 NCs 碳材料是以介孔为主的多孔材料。由图 5 可知,NC-7 的孔径分布范围较宽,以介孔为主,同时还有少量大孔存在。由表 2 可知,NC-7 的BET 比表面积为 333.94 $\,\mathrm{m}^2/\mathrm{g}$,孔体积为 0.2528 $\,\mathrm{cm}^3/\mathrm{g}$,均明显大于 NC-6 和 NC-8 的。因此,三聚氰胺与聚离子液体 PCMVImTf₂N 以 1:7 的质量比进行原位复合得到的类石墨氮化碳,具有良好的孔结构和较高的比表面积,更有利于电子的传输和电化学性能的提高。

3.5 NCs 碳材料的 X 射线光电子能谱分析

利用 X 射线光电子能谱(X-ray photoelectron spectroscopy, XPS) 和 元 素 分 析 (elementary analysis, EA),分析 NCs 碳材料及原料的化学组成和元素含量,结果如表 3 和图 6~7 所示。

表 3 NCs 碳材料及原料的元素分析结果
Table 3 Elemental analysis results of NCs carbo

Table 3 Elemental analysis results of NCs carbon materials and raw materials

样品 -	元素含量 /%				
7十月月	C	N	O	S	
NC-6	88.63	1.50	9.14	0.73	
NC-7	89.11	1.47	8.89	0.53	
NC-8	87.89	1.15	10.51	0.55	
PIL-1000	93.36	2.41	3.79	0.45	
C_3N_4	60.13	39.40	0.47	0	

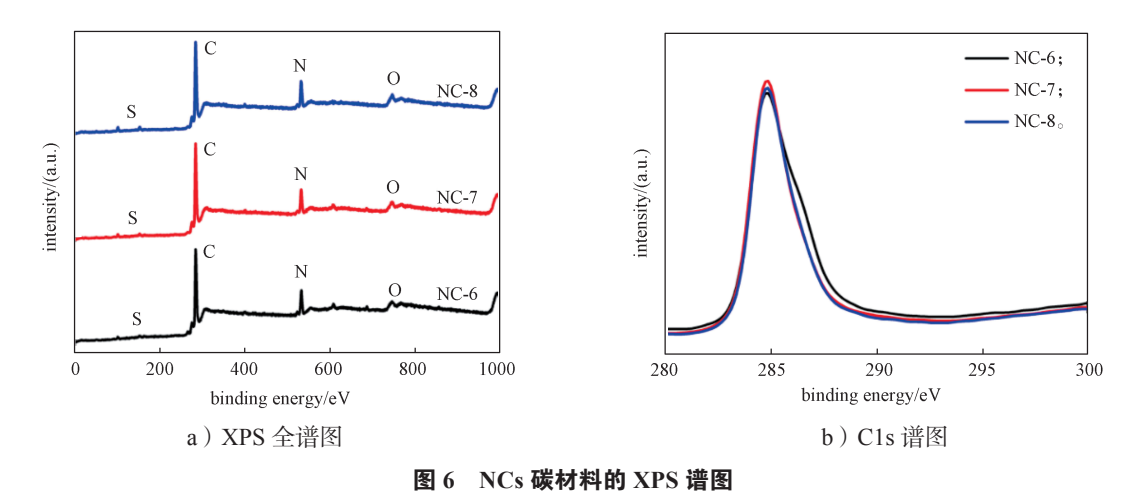


Fig. 6 XPS spectra of NCs carbon material

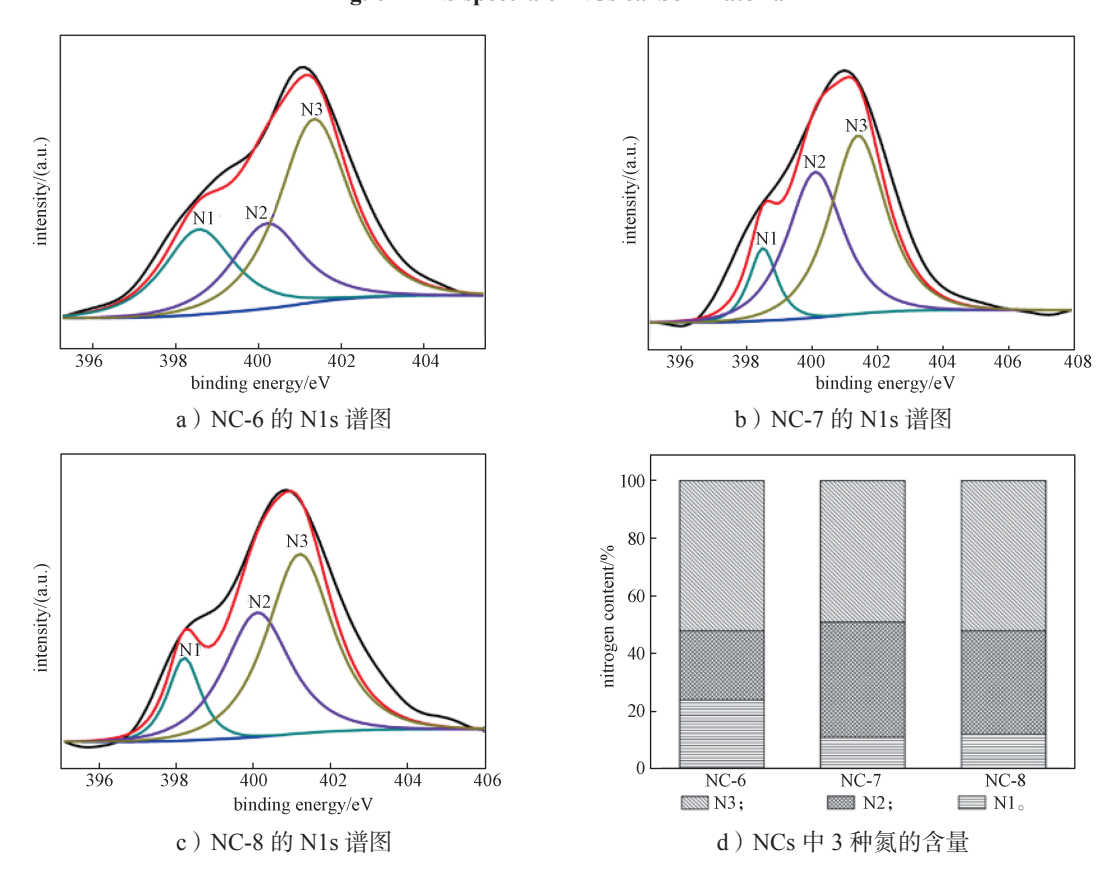


图 7 NCs 碳材料的 N1s 谱图及不同类型氮的含量

Fig. 7 N1s spectra of NCs carbon materials and the contents of different types of nitrogen

由表 3 和图 6a 可知, NC-6、NC-7、NC-8 碳材料中均含有 C、N、O、S 四种元素, 其中 S 元素是由聚离子液体 $PCMVImTf_2N$ 所引入, S 原子与体系中其他原子产生协同作用, 从而产生有效的催化作用。碳材料中的氧元素可能来自于大气中的 O_2 ,或者吸附在碳材料上的水蒸气、 CO_2 。

由图 6b 可知, C1s 的信号峰主要集中在大约

285 eV 附近(类石墨 sp² 碳),且不对称,这表明在基质中主要存在 C—N 键,因此该材料通常被认为是类石墨氮化碳材料 [22]。NC-7 样品的 C1s 信号具有较高的结合能,表明 NC-7 具有较低的石墨化程度,这与拉曼分析和 XRD 分析的结果一致。

图 7 为 NCs 碳材料的 N1s 谱图及不同类型氮的含量。图 7a~7c 中结合能在 398.0, 400.0, 401.3 eV

附近的 3 个信号峰,分别对应于吡啶氮(N1)、吡咯氮(N2)、石墨氮(N3)[23]。随着聚离子液体 PCMVImTf₂N 与三聚氰胺配比的不同,NC-6、NC-7、NC-8 的这 3 个峰发生了明显的变化。在NC-6 中,吡啶氮与吡咯氮的含量一样,均为 24%,石墨氮为 52%;在 NC-7 中,吡啶氮为 11%,吡咯氮为 40%,石墨氮为 49%;在 NC-8 中,吡啶氮为 12%,吡咯氮为 36%,石墨氮为 52%。与 NC-6 和 NC-8 相比,NC-7 中的石墨氮比例减少,而吡咯氮比例明显增加。

3.6 NCs 碳材料的电化学性能分析

采用电化学工作站测试 NCs 碳材料及其它催化剂在 HER 中的催化活性,结果如图 8 所示。测试时,将适量的 NCs 碳材料催化剂滴加在玻碳电极上作为工作电极,0.5 mol/L 的 H₂SO₄溶液为电解液。

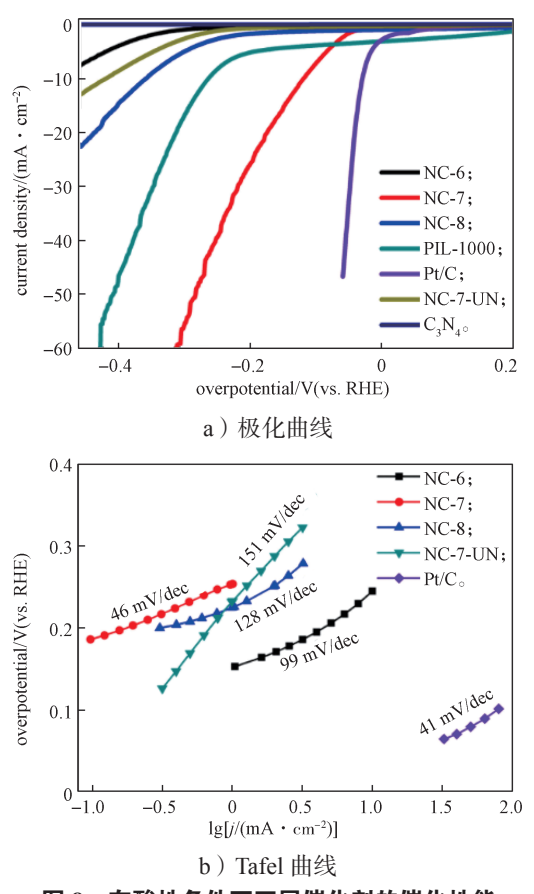


图 8 在酸性条件下不同催化剂的催化性能 Fig. 8 The catalytic performance of the catalyst under acidic conditions

由图 8a 可知, NC-7 表现出了最佳的析氢催化性能, 即电流密度为 10 mA/cm² 时, 过电位为 117 mV。纯的三聚氰胺在 550 ℃下碳化制备的

 C_3N_4 基本没有析氢催化性能;而纯的聚离子液体 PCMVImTf₂N 在 1000 $^{\circ}$ C下碳化制备的 PIL-1000,在 析氢催化性能测试过程中严重偏离基线。

Tafel 斜率 b 可由公式 $\eta=b$ lg j+a 计算得出,结果如图 8b 所示。其中: η 是过电位,j 是电流密度,a 是电流密度为一单位(1 A/cm²)时的过电位值。由图可知,NC-7 对应的 Tafel 斜率为 46 mV/dec,表明其具有最佳的电催化活性。

对不同碳化温度下制备的 NC-7 的析氢催化性能进行考察,结果如图 9 所示。由图可知,只有 1000 ℃进行碳化得到的碳材料具有良好的析氢催化性能。因为裂解温度会影响到碳材料中 N键的结构配置^[24],而在 1000 ℃条件下制备的催化剂表现出较好的性能,可能是由于在此温度下裂解形成了最佳的 N 结构。

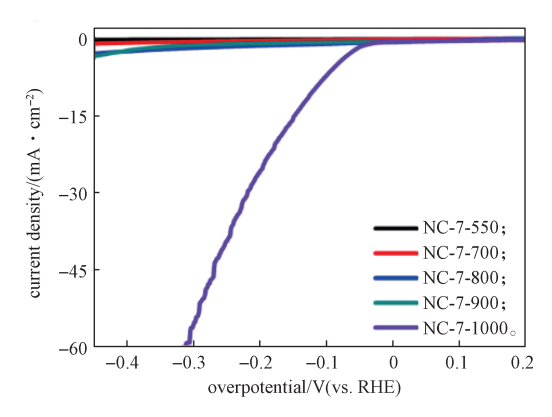


图 9 不同碳化温度下制备的 NC-7 极化曲线 Fig. 9 The polarization curves of NC-7 prepared at

Fig. 9 The polarization curves of NC-7 prepared at different carbonization temperatures

为了进一步研究 NCs 碳材料的电化学行为,在恒定过电压条件下进行 EIS 测试,其中交流阻抗频率为 $0.01~Hz\sim100~MHz$,电解质为 0.5~mol/L 的 H_2SO_4 ,结果如图 10~所示。

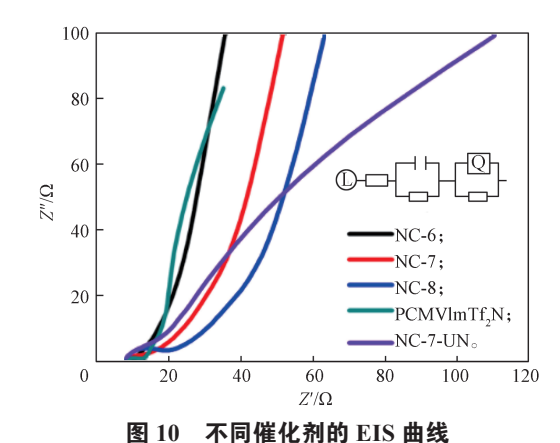


Fig. 10 EIS curves of different catalysts

从图 10 可以看到,体系中的阻抗由两部分组成:高频区半圆和低频区的直线。通过研究,证明低频区为物质转移(mass-transfer)控制,高频区为电荷转移(charger-transfer)主导。使用 ZSimDemo 软件对 NC-7 进行等效电路拟合,得到 NC-7 的内阻为

$7.467~\Omega_{\circ}$

将本研究所制备的碳材料 NC-7 的催化性能与其它类似的材料作比较,结果如表 4 所示。由表可知,NC-7 具有更优的过电位(117 mV)和 Tafel 斜率(46 mV/ dec),表明其具有更好的 HER 活性。

表 4 NC-7 与类似材料的催化性能比较

Table 4 Comparison of catalytic performance between NC-7 and similar materials

材料	过电位 /mV	Tafel 斜率 /(mV·dec ⁻¹) ——	电解液		44.45
			名称	浓度 /(mol·L ⁻¹)	文献
1-1-NBC	590	205.0	H_2SO_4	0.5	[25]
S/N-CLs	75	73.0	H_2SO_4	0.5	[26]
PNC-4	140	64.3	H_2SO_4	0.5	[27]
20-NMWNT	340	-	КОН	0.1	[28]
NC-7	117	46.0	H_2SO_4	0.5	本研究

采用循环伏安法(cyclic voltammetry, CV)在酸性条件下对 NC-7 的长期稳定性进行评估,结果如图 11 所示。由图可知,NC-7 在进行 CV 循环 1000圈后,仅观察到较低的阴极电流,整体呈现出良好的电催化稳定性。

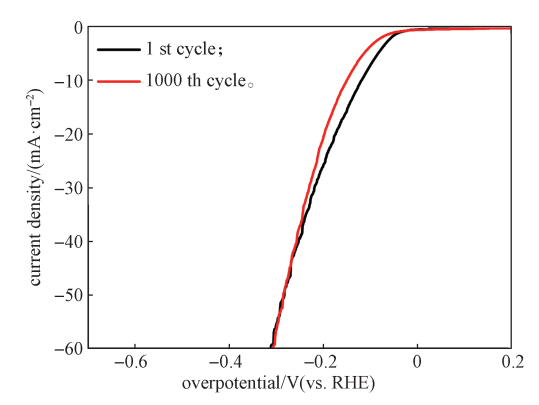


图 11 NC-7 在扫描 1000 圏前后 HER 的极化曲线 Fig. 11 HER polarization curves for NCs before and after 1000 cycles of potential sweeps

4 结语

PIL 具有优异的结构可设计性,并且本身可以形成孔道结构。 C_3N_4 是一种可以由三聚氰胺裂解而得到的高氮含量的碳基材料,它具有优异的电子结构。本文将聚离子液体 PCMVImTf₂N 与三聚氰胺复合后,在 1000 ℃下煅烧制备出的类石墨氮化碳材料 NC-7,结合了 PIL 与 C_3N_4 优点,具有最佳的 N 结构和较高的比表面积(333.94 m^2/g)。它在 0.5 mol/L

的 H_2SO_4 电解液中,电流密度为 10 mA/cm^2 时,过电位为 117 mV,对应的 Tafel 斜率为 46 mV/dec,显示出良好的电催化析氢能力。

参考文献:

- [1] XU X X, ZHOU Q, YU D H. The Future of Hydrogen Energy: Bio-Hydrogen Production Technology[J]. International Journal of Hydrogen Energy, 2022, 47(79): 33677-33698.
- [2] YAN J Y. Negative-Emissions Hydrogen Energy[J]. Nature Climate Change, 2018, 8: 560–561.
- [3] LE PA, TRUNG VD, NGUYEN PL, et al. The Current Status of Hydrogen Energy: An Overview[J]. RSC Advances, 2023, 13(40): 28262-28287.
- [4] WANG Y, WANG B, XIA S, et al. Enhanced Hydrogen Evolution Performance of Co/CoP in Electrolysis of Water by Interfacial Regulation of Crystal Plane Orientation[J/ OL]. International Journal of Hydrogen Energy. [2024– 02–22]. https://www.sciencedirect.com/science/article/ abs/pii/S0360319923044944?via%3Dihub.
- [5] DAI Y C, CHEN W B, GUO B C, et al. Ni₂P@MoS₂/ CC Catalysts with Heterogeneous Structure are Used for Highly Efficient Electrolysis of Water for Hydrogen Evolution[J]. Journal of Alloys and Compounds, 2022, 905: 164157.
- [6] WU F S, ZENG L, PEI A, et al. N, P Co-Doped Graphene-Supported Monometallic Nanoparticles for

- Highly Efficient Hydrogen Evolution by Acid Electrolysis of Water[J/OL]. Journal of Materials Chemistry A. [2024–03–08]. https://pubs.rsc.org/en/content/articlelanding/2024/ta/d3ta07750k.
- [7] CUI H W, CHEN Y X. "Buckets Effect" in the Kinetics of Electrocatalytic Reactions[J]. Journal of Energy Chemistry, 2024, 89: 399–396.
- [8] CONWAY B E, TILAK B V. Interfacial Processes Involving Electrocatalytic Evolution and Oxidation of H_2 , and the Role of Chemisorbed H[J]. Electrochimica Acta, 2002, 47(22/23): 3571–3594.
- [9] DENG X, ZHENG C Y, LI Y S, et al. Conductive Catalysis by Subsurface Transition Metals[J]. National Science Review, 2024, 11(1): nwae015.
- [10] SUN F C, LI Q, XUE H G, et al. Pristine Transition-Metal-Based Metal-Organic Frameworks for Electrocatalysis[J]. ChemElectroChem, 2019, 6(5): 1273-1299.
- [11] ZHANG A, LIANG Y X, ZHANG H, et al. Doping Regulation in Transition Metal Compounds for Electrocatalysis[J]. Chemical Society Reviews, 2021, 50(17): 9817-9844.
- [12] FEI H L, DONG J C, CHEN D L, et al. Single Atom Electrocatalysts Supported on Graphene or Graphene-Like Carbons[J]. Chemical Society Reviews, 2019, 48(20): 5207-5241.
- [13] YANG P P, YANG X, LIU W Z, et al. Graphene-Based Electrocatalysts for Advanced Energy Conversion[J]. Green Energy & Environment, 2023, 8(5): 1265-1278.
- [14] ALI M, RIAZ R, ANJUM A S, et al. Graphene Quantum Dots Induced Porous Orientation of Holey Graphene Nanosheets for Improved Electrocatalytic Activity[J]. Carbon, 2021, 171: 493-506.
- [15] WANG X C, MAEDA K, THOMAS A, et al. A Metal-Free Polymeric Photocatalyst for Hydrogen Production from Water Under Visible Light[J]. Nature Materials, 2009, 8(1): 76–80.
- [16] THOMAS A, FISCHER A, GOETTMANN F, et al. Graphitic Carbon Nitride Materials: Variation of Structure and Morphology and Their Use as Metal-Free Catalysts[J]. Journal of Materials Chemistry, 2008, 18(41): 4893–4908.
- [17] VINU A, SRINIVASU P, SAWANT D P, et al. Three-Dimensional Cage Type Mesoporous CN-Based

- Hybrid Material with very High Surface Area and Pore Volume[J]. Chemistry of Materials, 2007, 19(17): 4367–4372.
- [18] FAN Q Q, SU J N, SUN T, et al. Advances of the Functionalized Carbon Nitrides for Electrocatalysis[J]. Carbon Energy, 2022, 4(2): 211-236.
- [19] NICHOLS F, LIU Q M, SANDHU J, et al. Platinum-Complexed Phosphorous-Doped Carbon Nitride for Electrocatalytic Hydrogen Evolution[J]. Journal of Materials Chemistry A, 2022, 10(11): 5962-5970.
- [20] CHEBANENKO M I, LOBINSKY A A, NEVEDOMSKIY V N, et al. NiO-Decorated Graphitic Carbon Nitride Toward Electrocatalytic Hydrogen Production from Ethanol[J]. Dalton Transactions, 2020, 49(34): 12088-12097.
- [21] ZHANG PF, YUAN JY, FELLINGER TP, et al. Improving Hydrothermal Carbonization by Using Poly(Ionic Liquid)s[J]. Angewandte Chemie, 2013, 52(23): 6028-6032.
- [22] VINU A, ARIGA K, MORI T, et al. Preparation and Characterization of Well-Ordered Hexagonal Mesoporous Carbon Nitride[J]. Advanced Materials, 2005, 17(13): 1648–1652.
- [23] QU L T, LIU Y, BAEK J B, et al. Nitrogen-Doped Graphene as Efficient Metal-Free Electrocatalyst for Oxygen Reduction in Fuel Cells[J]. ACS Nano, 2010, 4(3): 1321-1326.
- [24] LIU R L, WU D Q, FENG X L, et al. Nitrogen-Doped Ordered Mesoporous Graphitic Arrays with High Electrocatalytic Activity for Oxygen Reduction[J]. Angewandte Chemie, 2010, 49(14): 2565–2569.
- [25] QU L H, ZHANG Z Y, ZHANG H, et al. Transformation from Graphitic C₃N₄ to Nitrogen-Boron-Carbon Ternary Nanosheets as Efficient Metal-Free Bifunctional Electrocatalyst for Oxygen Reduction Reaction and Hydrogen Evolution Reaction[J]. Applied Surface Science, 2018, 448: 618–627.
- [26] ATCHUDAN R, EDISON T N J I, PERUMAL S, et al. Electrocatalytic and Energy Storage Performance of Bio-Derived Sulphur-Nitrogen-Doped Carbon[J]. Journal of Electroanalytical Chemistry, 2019, 833: 357–369.
- [27] ZHANG Q, LUO F, LING Y, et al. Constructing Successive Active Sites for Metal-Free Electrocatalyst with Boosted Electrocatalytic Activities Toward Hydrogen Evolution and Oxygen Reduction Reactions[J].

ChemCatChem, 2018, 10(22): 5194-5200.

[28] DAVODI F, TAVAKKOLI M, LAHTINEN J, et al. Straightforward Synthesis of Nitrogen-Doped Carbon Nanotubes as Highly Active Bifunctional Electrocatalysts

for Full Water Splitting[J]. Journal of Catalysis, 2017, 353: 19–27.

(责任编辑:邓光辉)

Preparation and Electrochemical Properties of Poly(Ionic Liquid)/Melamine Carbon-Based Materials

XIONG Yubing, QIAN Zhehao, SONG Honghong

(School of Chemistry and Chemical Engineering, Zhejiang Sci-Tech University, Hangzhou 310018, China)

Abstract: Melamine and poly [3-cyanomethyl-1-vinylimidazole bis(trifluoromethanesulfonyl) imide] (PCMVImTf₂N) were in-situ compounded with different mass ratios as precursors, and calcined at high temperature to prepare a porous carbon-based catalyst. The experimental results showed when the mass ratio of melamine to PCMVImTf₂N was 1:7, the prepared carbon material NC-7 exhibited excellent electrocatalytic hydrogen evolution ability in 0.5 mol/L sulfuric acid (H_2SO_4) electrolyte. When the current density was 10 mA/cm², the overpotential was 117 mV, and the corresponding Tafel slope was 46 mV/dec, the performance was better than those of many metal-free electrocatalysts.

Keywords: poly(ionic liquid); melamine; carbon-based material; catalytic performance